

بررسی اثرسخت‌شوندگی سینماتیکی در اتوفرتاز استوانه‌های جدار ضخیم

رحمن سیفی* (دانشیار)

غلامحسین مجذوبی (استاد)

حفیظ‌الله بنی‌اسد (کارشناس ارشد)

گروه مکانیک، دانشکده فنی‌ورزشی، دانشگاه بوعلی سینا

مهمنشی مکانیک شرشف، (پیز ۱۴۴۳) دوری ۳ - ۵، نمایندگی ۲/۰ ص. ۱۷۵-۱۸۱

در این پژوهش با بهره‌گیری از مدل رفتار مادی چابوچه و نیز با استفاده از روش اجزاء محضود به بررسی اتوفرتاز پرداخته شده است. نتایج حاصله با نتایج مدل کشسانی - خمیری کامل مقایسه شده است. دقت این مدل‌ها در پیش‌بینی تنش پسماند ایجاد شده، با استفاده از روش تجربی (اندازه‌گیری با روش سوراخ‌کاری مرکزی) بررسی شده است. یافته‌ها نشان می‌دهند که در مدل کشسانی - خمیری کامل، با توجه به رفتار کاملاً خمیری آن بعد از نقطه‌ی تسلیم، تنش پسماند بیش از مقدار واقعی پیش‌بینی می‌شود. از آنجا که ضرایب مدل چابوچه از منحنی هیسترزیس پایدار به دست می‌آید، سخت‌شوندگی این مدل بیش از مقدار واقعی است و لذا، تنش‌های پسماند در این مدل کمتر از مقدار واقعی پیش‌بینی می‌شود. با این حال نتایج حاصل از این مدل به نتایج تجربی نزدیک‌تر است.

rseifi@basu.ac.ir
gh_majzoobi@basu.ac.ir
ashkan.baniasad@gmail.com

واژگان کلیدی: اتوفرتاز، مدل چابوچه، تنش پسماند، سوراخ‌کاری مرکزی، استوانه‌ی جدار ضخیم.

۱. مقدمه

دادند.^[۱] در مطالعه‌ی دیگر نتایج دو روش مختلف برای محاسبه‌ی توزیع تنش‌های پسماند در جداره‌ی سیلندر و نیز فشار اتوفرتاز با هم مقایسه شده است.^[۲] اثر کرنش سختی و اثر باشینگر^۱ بر فرایند اتوفرتاز بررسی شده^[۳] و نیز در تحقیقی دیگر فرایند اتوفرتاز با فشار داخلی و سنبه‌زنی با استفاده از مدل سینماتیکی خطی مورد مطالعه قرار گرفته است.^[۴] رفتار خمیری مواد تابع موارد زیادی است، و تاکنون مدل‌های ریاضی مختلفی - نظری مدل پراگر، امرز، آرمسترانگ - فردیک، چابوچه، اوهنو - وانگ، مک‌داول ... - برای پیش‌بینی این رفتارها ارائه شده، اما هیچ‌کدام از آن‌ها قابلیت پیش‌بینی رفتار مواد تحت تمامی شرایط مختلف بارگذاری را ندارند. از این رو برای شرایط مختلف بارگذاری از مدل‌های مختلفی استفاده می‌شود. در سال‌های اخیر محققین بسیاری عملکرد مدل‌های مختلف خمیرسانی را با نتایج تجربی مقایسه کرده‌اند و نتایج حاصله نشان از آن دارد که مدل سخت‌شوندگی سینماتیکی چابوچه یکی از کامل‌ترین مدل‌های موجود است.^[۵-۶]

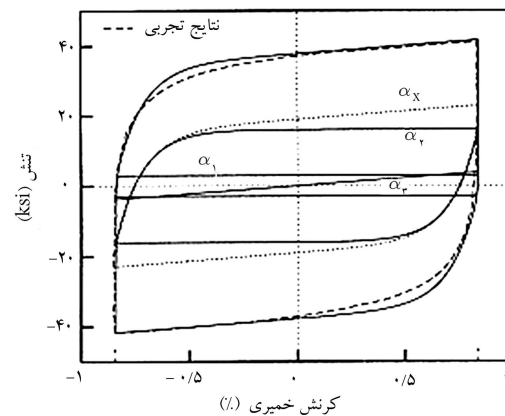
در بررسی رفتار خمیری مواد با اضافه‌کردن یک جمله‌ی غیرخطی به مدل پراگر (ساده‌ترین مدل خطی) قانون سخت‌شوندگی سینماتیکی غیرخطی ارائه شد.^[۷-۸] این مدل (مدل آرمسترانگ - فردیک) شامل یک جمله‌ی فراخوان است که اثرات تاریخچه‌ی بارگذاری در مسیر کرنش را وارد مدل کرده و آن را غیرخطی می‌سازد. این مدل ثوابت مادی معده‌دی برای مدل‌سازی دقیق حلقه‌ی هیسترزیس پایدار دارد و لذا رفتار خمیری مواد تحت بارگذاری دوره‌یی را به خوبی پیش‌بینی نمی‌کند.^[۹-۱۰] چابوچه با تکیب قوانین سخت‌شوندگی مدل آرمسترانگ - فردیک، مدل

یکی از روش‌های مؤثر در بالا بردن تحمل فشار استوانه‌های جدار ضخیم، ایجاد تنش پسماند فشاری در دیواره‌ی آن‌هاست. برای ایجاد تنش پسماند در استوانه‌های جدار ضخیم چند روش وجود دارد: ۱. تشکیل استوانه‌ی مرکب از دو یا چند استوانه‌ی ساده، که به صورت پرسی در داخل هم جا زده می‌شوند؛ این انطباق پرسی باعث ایجاد تنش پسماند فشاری در سطح داخلی استوانه‌ی مرکب می‌شود. ۲. خمیری کردن دیواره‌ی مخزن تا ساععی معین توسط فشار داخلی که طی آن، پس از باربرداری تنش پسماند فشاری در لایه‌ی داخلی استوانه باعث افزایش میزان باربری استوانه در بارگذاری مجدد می‌شود. ۳. استفاده از سنبه‌یی با شعاع بزرگ‌تر نسبت به شعاع داخلی لوله که با فشار درون لوله جا زده می‌شود. اگر تداخل لوله با سنبه به‌اندازه‌یی باشد که لوله خمیری شود، پس از خارج شدن سنبه تنش پسماند فشاری در لوله ایجاد می‌شود. تاکنون تحقیقات زیادی در زمینه‌ی اتوفرتاز صورت گرفته، و از مدل‌های مادی مختلفی برای بررسی این فرایند استفاده شده است. بخش عمده‌ی این تحقیقات با استفاده از مدل کشسانی - خمیری کامل انجام شده است.

محققین با استفاده از مدل کشسانی - خمیری کامل به بررسی عددی و تجربی فرایند اتوفرتاز در استوانه‌های جدار ضخیم پرداختند.^[۱۱] آنان همچنین با استفاده از روش‌های عددی و تجربی، فشار ترکیب‌گی در استوانه‌های مرکب را مورد بررسی قرار

* نویسنده مسئول

تاریخ: دریافت ۲۴/۱۱/۱۳۹۱، اصلاحیه ۹/۵/۱۳۹۲، پذیرش ۲۸/۵/۱۳۹۲.



شکل ۱. پیش‌بینی منحنی هیسترزیس با مدل چاپوچه با سه عبارت تفکیک شده.^[۶]

$$f(\sigma - \alpha, k) = \sqrt{(s - a) : (s - a)} - k = 0 \quad (1)$$

که در آن σ تانسور تنش، s تانسور تنش انحرافی، α جریان مرکز سطح تسليم شده، a مرکز سطح تسليم شده در فضای انحرافی، و k اندازه‌ی سطح تسليم شده است که در مدل‌های سخت‌شوندگی سینماتیکی ثابت است. نمو کرنش خمیری چنین تعریف می‌شود:

$$d\varepsilon^p = d\lambda \frac{\partial f}{\partial \sigma} \quad (2)$$

که در آن $d\varepsilon^p$ نوخ کرنش خمیری، $d\lambda$ ضربی خمیری و f تابع تسليم است. آرمسترانگ و فردریک یک جمله غیرخطی به قانون سخت‌شوندگی پراگر اضافه کردند. قانون سخت‌شوندگی پراگر یک قانون سخت‌شوندگی ساده‌ی خطی است که مطابق رابطه‌ی ۳ بیان می‌شود:

$$d\alpha = \frac{2}{3} C d\varepsilon^p \quad (3)$$

جمله‌ی اضافه شده توسط آرمسترانگ و فریدریک با نوخ کرنش خمیری متناسب است. قانون سخت‌شوندگی آرمسترانگ - فریدریک مطابق معادله‌ی ۴ بیان می‌شود:

$$d\alpha = \frac{2}{3} C d\varepsilon^p - \gamma \alpha dp \quad (4)$$

این مدل دارای دو ثابت است ولی قادر به پیش‌بینی انباشت کرنش (رچتینگ) نیست. چاپوچه و همکاران^[۱۵] با ترکیب چند عبارت متفاوت از قانون سخت‌شوندگی آرمسترانگ - فریدریک مدل اصلاح شده‌ی برای بارگذاری تک محوری ارائه کردند. تعداد ثابت مادی این قانون بیشتر است و نتایج حاصل از مدل آرمسترانگ - فریدریک را بهبود می‌بخشد. مدل چاپوچه با سه عبارت نشان داده می‌شود:

$$d\alpha_i = \frac{2}{3} C_i d\varepsilon^p - \gamma_i \alpha_i dp, \quad i = 1, 2, 3 \quad (5)$$

که در آن C_i و γ_i ثابت مادی‌اند و dp نوخ کرنش تجمعی است که با رابطه‌ی ۶ نشان داده می‌شود:

$$dp = \sqrt{\frac{2}{3} d\varepsilon^p : d\varepsilon^p} \quad (6)$$

چنان‌که مشاهده می‌شود معادله‌ی ۵ مجموع سه معادله از مدل آرمسترانگ - فریدریک با ثابت‌های مختلف است.

۱.۲. محاسبات ریاضی

از حل معادلات چاپوچه (رابطه‌ی ۵) روابط ۷ برای بارگذاری تک محوری در جهت فرضی x به دست می‌آید (پاین‌نویس p و n به ترتیب برای حالت مشبت و منفی استفاده شده است):^[۱۶]

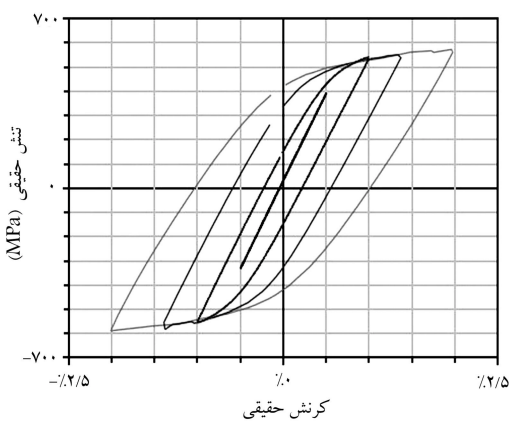
$$\begin{aligned} \alpha_{ixp} &= \frac{2}{3} \frac{C_i}{\gamma_i} + (\alpha_{ix^0} - \frac{2}{3} \frac{C_i}{\gamma_i}) \exp[-\gamma_i (\varepsilon_x^p - \varepsilon_{x^0}^p)], \quad d\varepsilon_x^p \geq 0 \\ \alpha_{ixn} &= -\frac{2}{3} \frac{C_i}{\gamma_i} + (\alpha_{ix^0} + \frac{2}{3} \frac{C_i}{\gamma_i}) \exp[\gamma_i (\varepsilon_x^p - \varepsilon_{x^0}^p)], \quad d\varepsilon_x^p < 0 \end{aligned} \quad (7)$$

این معادلات را می‌توان چنین بازنویسی کرد:

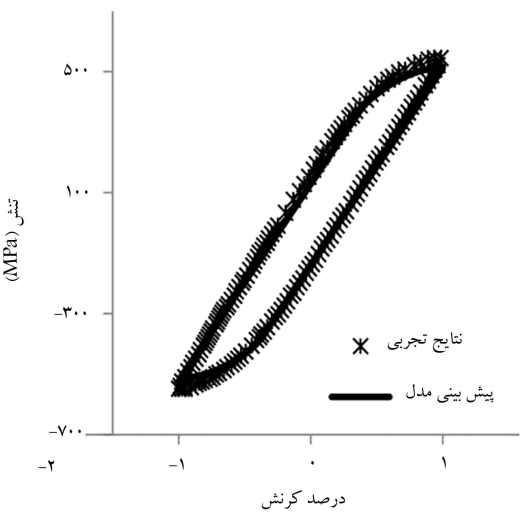
$$\begin{aligned} \Delta \varepsilon_x^p &= -\frac{1}{\gamma_i} \ln\left(\frac{\alpha_{ixp} - \frac{2}{3} \frac{C_i}{\gamma_i}}{\alpha_{ix^0} - \frac{2}{3} \frac{C_i}{\gamma_i}}\right), \quad d\varepsilon_x^p \geq 0 \\ \Delta \varepsilon_x^p &= \frac{1}{\gamma_i} \ln\left(\frac{\alpha_{ixn} + \frac{2}{3} \frac{C_i}{\gamma_i}}{\alpha_{ix^0} + \frac{2}{3} \frac{C_i}{\gamma_i}}\right), \quad d\varepsilon_x^p < 0 \end{aligned} \quad (8)$$

۲. مدل چاپوچه

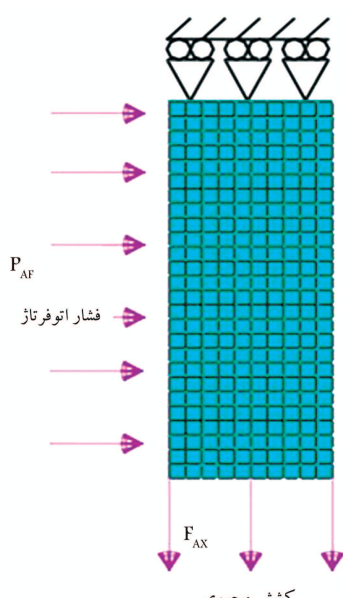
مدل چاپوچه مدل مناسبی برای پیش‌بینی رفتار دوره‌یی مواد تحت انواع مختلف بارگذاری است. در این مدل از معیار تسليم فون‌میسنس استفاده می‌شود. معیار تسليم فون‌میسنس عبارت است از:



شکل ۲. حلقه‌ی هیسترزیس آلومینیم [۱۷]. ۷۰۷۵-ت۶



شکل ۳. منحنی هیسترزیس تعیین شده با الگوریتم ژنتیک.



شکل ۴. شرایط مرزی و نوع بارگذاری مخزن در مدل متقارن محوری.

که در آن α_{ixp} و α_{inx} به ترتیب بیشترین و کمترین مقدار تنش برگشتی^۲ در طول بارگذاری کششی و فشاری هستند. بارگذاری دوره‌بی را می‌توان به دو قسمت مثبت و منفی تقسیم کرد. فرض می‌شود که هر دو قسمت شامل رفتار خمیری مواد (ایجاد کرنش خمیری) استند. با فرض $d\varepsilon_x^p \geq 0$ برای قسمت مثبت بارگذاری تکمحوری و $d\varepsilon_x^p < 0$ برای قسمت منفی آن، خواهیم داشت:

$$\alpha_{ixp} = \sum \alpha_{ixp} = \frac{1}{\gamma_i} (\sigma_x - \sigma_0), \quad d\varepsilon_x^p \geq 0$$

$$\alpha_{inx} = \sum \alpha_{inx} = \frac{1}{\gamma_i} (\sigma_x + \sigma_0), \quad d\varepsilon_x^p < 0 \quad (۹)$$

با ترکیب معادلات ۷ و ۹ می‌توان نوشت:

$$(\sigma_x - \sigma_0) = \sum \left(\frac{C_i}{\gamma_i} + \left(\frac{3}{2} \alpha_{ixp} - \frac{C_i}{\gamma_i} \right) \exp[-\gamma_i \Delta \varepsilon_x^p] \right) d\varepsilon_x^p \geq 0$$

$$(\sigma_x + \sigma_0) = \sum \left(-\frac{C_i}{\gamma_i} + \left(\frac{3}{2} \alpha_{inx} + \frac{C_i}{\gamma_i} \right) \exp[\gamma_i \Delta \varepsilon_x^p] \right) d\varepsilon_x^p < 0 \quad (۱۰)$$

این معادلات برای به دست آوردن α_{ixp} و α_{inx} و $\Delta \varepsilon_x^p$ (در اصل ضرایب C_i و γ_i) مورد استفاده قرار می‌گیرند. برای به دست آوردن ضرایب باید یک سیستم معادلات غیرخطی حل شود. [۱۲]

۲.۲. تعیین ضرایب مدل چابوچه آلیاژ Al7075-T6

در این مقاله برای به دست آوردن ضرایب چابوچه از نرم‌افزار متلب (الگوریتم ژنتیک) و نیز یک روش پیشین^[۱۶] استفاده شده است. برای این مدل تعیین شش ضرایب الرامی است که به روش معکوس و با منطقی کردن مدل به مجموعه‌ی از داده‌های آزمایشگاهی (حلقه‌ی هیسترزیس آلومینیم Al7075-T6) با استفاده ازتابع هدف ۱۱ انجام می‌پذیرد.

$$RSS = \min \left(\frac{1}{N} \sum_{i=1}^N \left[\frac{(\sigma_{\text{exp}} - \sigma_{\text{model}})}{\sigma_{\text{exp}}} \right]^2 \right) \quad (۱۱)$$

N تعداد کل مشاهدات، σ_{exp} مقدار تجربی، σ_{model} مقدار پیش‌بینی شده توسط مدل، و RSS کمترین مقدار تابع هدف مربوط به مجموع مجذورات تفاضل‌های مقداری ذکر شده است. حلقه‌ی هیسترزیس آلومینیم ۷۰۷۵-T6 در شکل ۲ نشان داده شده است. در شکل ۳ منحنی به دست آمده با این روش برای منحنی هیسترزیس نشان داده شده است. ضرایب به دست آمده نیز در جدول ۱ ارائه شده است.

۳. شبیه‌سازی عددی

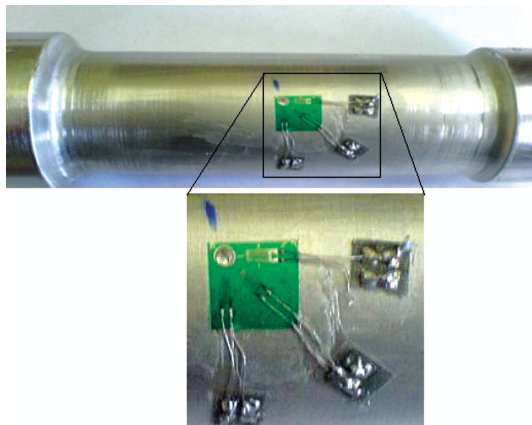
در این تحقیق با توجه به شرایط متقارن محوری هندسه و بارگذاری، مسئله به صورت متقارن محوری شبیه‌سازی شده است. المان هشت‌گویی متقارن محوری درجه دو برای المان‌بندی مورد استفاده قرار گرفته است. مدل ایجاد شده و شرایط مرزی نیز در شکل ۴ نشان داده شده است. تمام شبیه‌سازی‌های در نرم‌افزار آباکوس، و با استفاده از دو مدل مادی کشسانی - خمیری کامل و چابوچه انجام شده است. مشخصات مادی مورد نیاز در نرم‌افزار در جدول ۱ برای مدل مادی چابوچه و در جدول ۲ برای مدل مادی کشسانی - خمیری کامل آورده شده است. مشخصات هندسی مدل‌ها نیز در جدول ۳ ارائه شده است.

جدول ۴. مشخصات هندسی نمونه‌ها.

P_i (MPa)	AFR (%)	k (r_b/r_a)	r_b (mm)	r_a (mm)	نحوة
٢٢٠	٦٠	١/٥	١٨,٧٥	١٢,٥	١
٢١٠	٤٥	١/٥	١٨,٧٥	١٢,٥	٢
١٩٥	٣٠	١/٥	١٨,٧٥	١٢,٥	٣
١٨٠	٤٥	١/٤	١٧,٥	١٢,٥	٤
١٨٥	٦٠	١/٤	١٧,٥	١٢,٥	٥



شکل ۶. نمونه‌های آزمایشی.



شکل ۷. نمونه‌ی آزمایشی و کنش‌سنیج نصب شده روی آن:

این دو AFR درصد اتوفرتاز (نسبت ضخامت خمیری شده به کل)، و P_i فشار داخلی اتوفرتاز است. برای اندازهگیری تنش پسماند، روش سوواخ-کاری مرکزی طبق استاندارد ASTM مورد استفاده قرار گرفته است.^[۱۸]

در انجام آزمایش‌های تجربی از کرنش‌سنج‌های نوع FRAS-۲-۲۳ با طول ۲mm و همچنین مته‌های تیتانیومی مدل ATC-۲۰۰۵-۶۲T استفاده شد. در شکل ۷ یک نمونه‌ی آزمایشی و کرنش‌سنج نصب شده روی آن نشان داده شده است. با توجه به قطر خارجی نمونه‌ها و طول کرنش‌سنج‌ها، از اثرات انحرافی نمونه بر کرنش‌های اندازه‌گیری شده صرف نظر شده است. خطای اندازه‌گیری کرنش‌سنج‌ها حدود ۴-۱ درصد و خطای اپراتور و تغییرات دما در روش سوراخ‌کاری حدود ۵ درصد است.

جدول ۱. ضرایب مدل چابوچه.

γ_2	C_2 (MPa)	γ_1	C_1 (MPa)	γ_1	C_1 (MPa)	ν	E (GPa)
٩٠٪	٣٠٠٠	٨٠٪	٥٠٠٠	٢٠٪	١٦٥٠٠	٠٪٣٣	٧٪٥

جدول ۲. مدل ماده‌ی کشسانی - خمیری کامل.

$$Y_{yield} \text{ (MPa)} \quad \nu \quad E \text{ (GPa)}$$

جدول ۳. مشخصات هندسی استوانه‌ها.

شعاع داخلي (r _b) (mm)	نسبة شعاعها (k)	شعاع خارجي (r _a) (mm)
١٧,٥	١,٤ و ١,٥	١٢,٥

۴. آزمایش‌های تجزیه

۱.۴. ساخت و آماده‌سازی نمونه‌ها

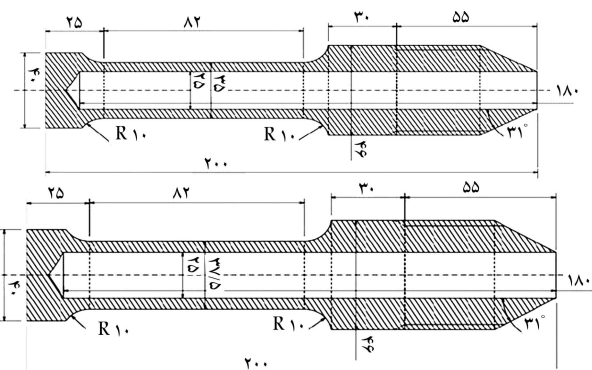
در تحقیق حاضر از دو نمونه با ضخامت‌های مختلف برای بررسی اثر افزایش ضخامت بر فرایند اتوفراتاژ با فشار داخلی استفاده شده است. جنس نتامی نمونه‌ها T_6 است. برای ساخت نمونه‌ها از میله‌های آلومینیمی با قطر 55mm است. ابعاد نمونه‌های ساخته شده، در شکل ۵ نشان داده شده است. طول استوانه‌ها به حدی بلند در نظر گرفته شده که دو انتهای اتری بر توزیع نتش نداشته باشند.

۲۰.۴. اتوفرتاژ با فشار داخلی

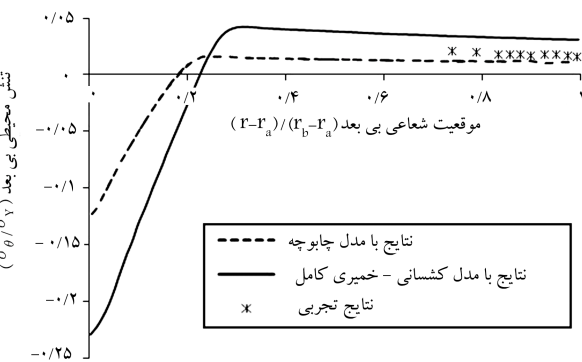
در اتوفرتاش فشار داخلی لازم با استفاده از یک پمپ فشار قوی تأمین می‌شود. دیواره داخلی نمونه‌ها با توجه به میران فشار وارده خمیری شده، و پس از بارگذاری تنش سیمانند در دیواره‌ای نمونه ایجاد می‌شود.

۳. تعیین توزیع تنشی سیماند به روش سوراخ‌کاری^۳

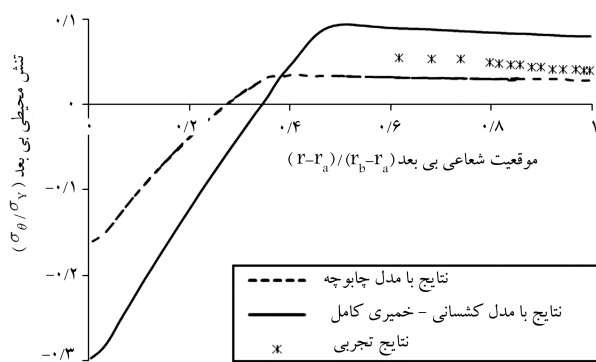
با خش اصلی و عمدۀ آزمایش‌های تجربی به تعیین تنش پسماند در نمونه‌ها پس از فرایند اتوفراتاز مریبوط است. این آزمایش‌ها روی پنج نمونه اتوفراتاز شده صورت گرفته و مشخصات کامل نمونه‌های مورد آزمایش در جدول ۴ و شکل ۶ قابل مشاهده‌اند. در جدول ۴، r_a و r_b به ترتیب شعاع داخلی و خارجی، استوانه، k نسبت



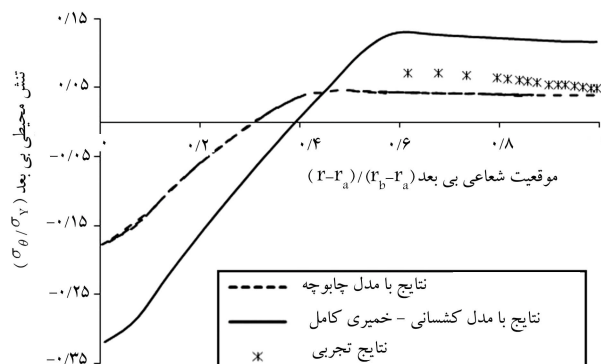
شکل ۵. نقشه‌ی نمونه‌ها برای اتوفتاژ



شکل ۱۰. تنش پسماند محیطی در نمونه‌ی شماره ۳ با فشار اتوفر تا 195 MPa .



شکل ۱۱. تنش پسمند در نمونه‌ی شماره ۴ با فشار اتوفر تا 180 MPa .



شکل ۱۲. تنش پسماند محیطی در نمونه‌ی شماره ۵ با فشار اتوفر تا 185 MPa .

میران سخت شوندگی در نظر گرفته نمی شود و بنابراین، رفتار ماده پس از تسلیم کاملاً خمیری است. در فشار داخلی یکسان، این مدل ناحیه‌ی خمیری را بیشتر از مقدار واقعی پیش‌بینی می‌کند لذا تشن‌های پسماند پیش‌بینی شده، بیشتر از مقدار واقعی خواهد بود.

چنان که مشاهده می‌شود، در تمام نمودارها نتایج مدل چابوچه در سطح خارجی نمونه‌ها، با نتایج تجربی مطابقت بسیار خوبی دارند ولی در نقاط داخلی این هموگوانی کمتر می‌شود. در این نقاط اثر رفتار خمیری بر توزیع تنش پیماند بیشتر است. از آنجا که تنش و کرنش در این نواحی به قسمت زانویی در حلقه‌ی هیسترزیس (شکل ۱) نزدیک‌تر است، وجود خطای بیشتر منطقی به نظر می‌رسد. با این استدلال می‌توان انتظار داشت که خطای مدل در نواحی خمیری شده‌ی داخلی نش؛ کاهش، یا بد.

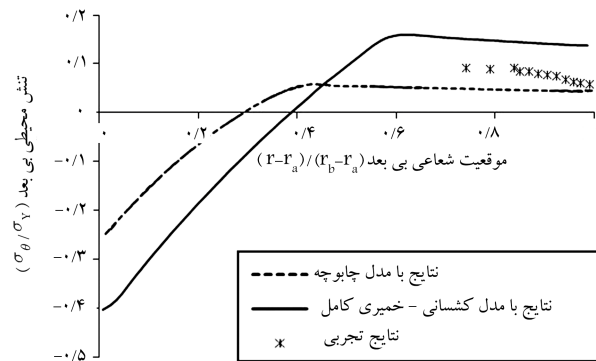
با توجه به علل ذکر شده، مدل چابوچه در تمام موارد تنش های بیشینه‌ی فشاری

۵. نتایج به دست آمده از شبیه‌سازی عددی

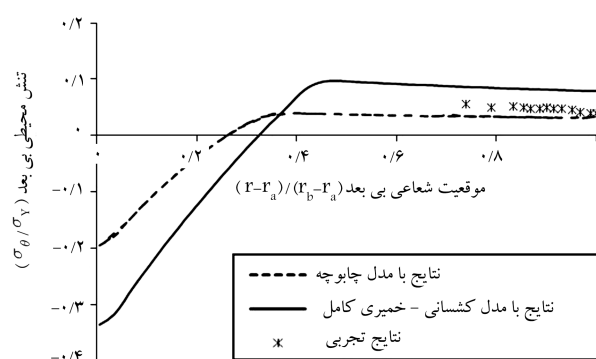
برای بررسی میران دقت مدل چاپوچه و مدل کشسانی - خمیری کامل در شبیه‌سازی فرایند اتوفرآث نتایج شبیه‌سازی و نتایج تجربی با هم مقایسه شده‌اند. از آنجا که در فرایند اتوفرآث تنش محیطی از اهمیت زیادی برخوردار است نتایج فقط برای این تنش نشان داده شده است.

با افزایش فشار اتوفرتاژ شعاع ناحیه خمیری افزایش پیدا می کند. در شکل های ۸ تا ۱۲، نمودار تنش های پسماند محیطی استوانه هایی با نسبت اتوفرتاژ AFR و نسبت شعاع های مختلف نشان داده شده است. در این نمودارها توزیع تنش پسماند محیطی به دست آمده از نتایج تجربی با نتایج حاصل از به کار گیری مدل چابوچه و مدل کشسانی - خمیری کامل در تحلیل عددی با فشار اتوفرتاژ های مختلف مقایسه شده است. مقایسه ای شکل های ۸ تا ۱۰ و نیز شکل های ۱۱ و ۱۲ نشان می دهد که با افزایش درصد اتوفرتاژ در k ثابت، ناحیه خمیری بزرگ تر شده و به تبع آن مقدار تنش های پسماند نیز افزایش می یابد. مطابقت تغییرات تنش پسماند در روش عددی، با نتایج تحریر، تأیید شده است.

چنان که مشاهده می شود در تمامی نمونه ها مدل چابوچه میران تنش پسماند را کمتر از مقدار واقعی، و مدل کشسانی - خمیری کامل میران آن را بیشتر از مقدار واقعی پیش یینی می کند. با توجه به این که در مدل چابوچه رفتار خمیری ماده بعد از تسخیم از حلقه‌ی هیسترزیس تعیین می شود، مقدار سخت شوندگی ماده بیش از سخت شوندگی در حالت اولیه است (این رفتار از شکل حلقه‌ی هیسترزیس قابل مشاهده است). با این شرایط، اندازه‌ی ناحیه‌ی خمیری در دیواره‌ی استوانه کاوش پافته و از میران تنش پسماند کاسته می شود. در مدل کشسانی - خمیری کامل،



شکل ۸. تنش سیماند محیطی در نمونه‌ی شماره ۱ با فشار اتوفر تا 220 MPa .



شکل ۹. تنفس سیماند محضی در نمونه‌ی شماره ۲ با فشار اتفاقی تا 210 MPa

و نیز شعاع ناحیه‌ی فشاری ($r_c - r_a$)/($r_b - r_a$) براساس مدل چابوچه در جدول ۶ ارائه شده است.

چنان‌که مشاهده می‌شود، برای $k = 1/4$ ، با تغییر درصد اتوفرتاژ از ۴۵ به ۶۰ (نمونه‌های ۴ و ۵)، تغییرات زیادی در تنش فشاری و ناحیه‌ی فشاری ایجاد نمی‌شود ولی برای $k = 1/5$ با آن که ناحیه‌ی فشاری تغییر زیادی ندارد ولی تنش فشاری از مقدار ۱۹ درجه به ۲۴ (درصد افزایش) تغییر یافته است. در تمامی حالات تنش بیشینه‌ی کششی در مقایسه با فشاری ناچیز است؛ مثلاً در اتوفرتاژ ۶۰ درصد حدود ۵ درصد تنش تسیلیم است. با افزایش درصد اتوفرتاژ از ۳۰ درصد به ۶۰ درصد برای نسبت شعاع ۱/۵ اندازه‌ی ناحیه‌ی فشاری حدود ۵۵ درصد افزایش می‌یابد ولی با ۴۵ یا ۶۰ درصد اتوفرتاژ تغییرات زیادی نخواهد داشت و فقط ۳ تا ۷ درصد افزایش می‌یابد. با این شرایط به نظر می‌رسد هرچه فشار اتوفرتاژ بالاتر باشد اندازه‌ی ناحیه‌ی فشاری و تنش آن افزایش می‌یابد.

۶. نتیجه‌گیری

-- نتایج مدل مادی کشسانی - خمیری کامل، در تمامی حالات بزرگ‌تر از نتایج تجربی است.

-- از آنجا که ضرایب مدل چابوچه از حلقه‌ی هیسترزیس به دست می‌آید، این مدل در پیش‌بینی رفتار ماده دقیق‌تر است و نتایج حاصل از آن به حالت تجربی نزدیک‌تر خواهد بود.

-- نتایج مدل چابوچه در سطح خارجی نمونه‌ها، با نتایج تجربی مطابقت بسیار خوبی دارد، ولی در نقاط داخلی مطابقت کم‌تر می‌شود.

-- برای نسبت شعاع ۱/۴ با تغییر اتوفرتاژ از ۴۵ به ۶۰ درصد تغییرات زیادی در تنش فشاری و ناحیه‌ی فشاری ایجاد نمی‌شود ولی برای نسبت شعاع ۱/۵ با آن که ناحیه‌ی فشاری تغییر زیادی ندارد ولی تنش فشاری حدود ۲۶ درصد افزایش می‌یابد.

-- برای نسبت شعاع ۱/۵ با تغییر درصد اتوفرتاژ از ۳۰ به ۴۵ به ۶۰ درصد، شعاع ناحیه‌ی فشاری حدود ۵۵ درصد افزایش می‌یابد.

جدول ۵. نسبت تنش‌های بیشینه و اندازه ناحیه‌ی فشاری در دو مدل.

نسبت تنش فشاری	نسبت تنش کششی	نسبت ناحیه‌ی فشاری	
۱/۳۶	۲/۹۶	۱/۷۰	۱
۱/۱۹	۲/۶۷	۱/۷۳	۲
۱/۲۴	۲/۵۵	۱/۸۶	۳
۱/۲۳	۲/۶۹	۱/۸۵	۴
۱/۳۳	۲/۸۱	۱/۸۰	۵

جدول ۶. تنش‌های بیشینه و اندازه ناحیه‌ی فشاری با مدل چابوچه.

بیشینه تنش فشاری	بیشینه تنش کششی	اندازه ناحیه‌ی فشاری	
۰/۲۸	۰/۰۵	-۰/۲۴	۱
۰/۲۷	۰/۰۴	-۰/۱۹	۲
۰/۱۸	۰/۰۲	-۰/۱۲	۳
۰/۲۸	۰/۰۳	-۰/۱۶	۴
۰/۳۰	۰/۰۵	-۰/۱۸	۵

و کششی را کم‌تر از مدل کشسانی - خمیری کامل پیش‌بینی می‌کند؛ این حالت برای شعاع ناحیه‌ی کششی نیز صادق است. در جدول ۵ نسبت تنش‌های بیشینه‌ی فشاری و کششی، و نیز نسبت اندازه‌ی ناحیه‌ی فشاری با مدل کشسانی - خمیری کامل به مدل چابوچه ارائه شده است.

چنان‌که مشاهده می‌شود، برای مقدار ثابت k با افزایش درصد اتوفرتاژ از نسبت تنش فشاری کاسته می‌شود، ولی نسبت تنش کششی و نسبت ناحیه‌ی فشاری افزایش می‌یابد. بیشترین اختلاف دو مدل در پیش‌بینی تنش‌های بیشینه‌ی کششی است. با توجه به جدول ۵ ملاحظه می‌شود که برای درصد اتوفرتاژ یکسان، اثر نسبت شعاع‌ها قابل توجه نیست و نسبت ناحیه‌ی فشاری تغییر زیادی ندارد.

هدف اصلی از فرایند اتوفرتاژ ایجاد ناحیه‌ی فشاری در سطح داخلی استوانه با بیشینه تنش پسماند فشاری است. در عین حال تنش کششی در سطح خارجی نیز باید کمینه شود. مقادیر بی‌بعد بیشینه تنش‌های پسماند کششی و فشاری (σ_0/σ_Y)

پانوشت‌ها

1. Bauschinger effect
2. back stress
3. central hole drilling (CHD)

منابع (References)

1. Majzoobi, G.H., Farrahi, G.H. and Mahmoudi A.H. "A finite element simulation and an experimental study of autofrettage for strain Hardened thick-walled cylinders", *Materials Science and Engineering*, **359**(1-2), pp. 326-331 (2003).
2. Majzoobi, G.H., Farrahi, G.H., Pipelzadeh, M.K. and Akbari, K. "Finite element prediction of bursting pressure in compound cylinders", *International Journal of Pressure Vessels and Piping*, **81**(12), pp. 889-896 (2004).
3. Xiaoying, Z. and Gangling, L. "Autofrettaged calculative methods of a thick-walled cylinder for the open-ended case", *Proceedings of the 5th International Conference on Pressure Vessel Technology*, pp. 85-95 (1984).
4. Chen, G. "The influence of strain hardening and bauschinger effect behavior of the material on the aut-ofrettage residual stress of a thick-walled cylinder", *ASME PVP*, **110**, pp. 49-54 (1986).
5. Gibson, M.C. "Determination of residual stress distributions in autofrettaged thick cylinders", Msc Thesis, Cranfield University (2008).

6. Bari, S. and Hassan, T. "Anatomy of coupled constitutive models for ratcheting simulation", *International Journal of Plasticity*, **14**(3-4), pp. 381-409 (2000).
7. Bari, S. and Hassan, T. "An advancement in cyclic plasticity modeling for multiaxial ratcheting simulation", *International Journal of Plasticity*, **18**(7), pp. 873-894 (2002).
8. Bari, S. and Hassan, T. "Kinematic hardening rules in uncoupled modeling for multiaxial ratcheting simulation", *International Journal of Plasticity*, **17**(7), pp. 885-905 (2001).
9. AbdelKarim, M. and Ohno, N. "Kinematic hardening model suitable for ratchetting with Steady-State", *International Journal of Plasticity*, **16**(3-4), pp. 225-240 (2000).
10. Frederick, C.O. and Armstrong, P.J. "A mathematical representation of the multiaxial Bauschinger effect", CEB Report No: RD/B/N, 731 (1996).
11. Prager, W. "Recent development in the mathematical theory of plasticity", *Journal of Applied Physics*, **20**(3), pp. 235-241 (1949).
12. Rezaiee-Pajand, M. and Sinaie, S. "On the calibration of the chaboche hardening model and a modified hardening rule for uniaxial ratcheting prediction", *International Journal of Solids and Structures*, **46**(16), pp. 3009-3017 (2009).
13. Chaboche, J.L., Dang Van, K. and Cordier, G. "Modellization of the strain memory effect on the cyclic hardening of 316 stainless steel", *Proceedings of the 5th International Conference on SMiRT*, Div. L, Berlin, Germany (1979).
14. Chaboche, J.L. "Time-independent constitutive theories for cyclic plasticity", *International Journal of Plasticity*, **2**(2), pp. 149-188 (1986).
15. Chaboche, J.L. "On some modifications of kinematic hardening to improve the description of ratchetting effects", *International Journal of Plasticity*, **7**(7), pp. 661-678 (1991).
16. Mahmoudi, A.H., Pezeshki-Najafabadi, S.M. and Badrava, H. "Parameter determination of chaboche kinematic hardening model using a multi objective genetic algorithm", *Computational Materials Science*, **50**(3), pp. 1114-1122 (2011).
17. Colin, J. and Taheri, S. "Deformation history and load sequence effects on cumulative fatigue damage and life predictions", Thesis, University of Toledo (2009).
18. ASTM, "Standard test method for determining residual stress by hole drilling strain-gage method", ASTM Designation, E837-95, pp. 642-648 (1997).